# 2 環境調査結果

## 2.1 地盤高調査

地盤測量の結果を図 5 に示した。

海苔養殖区画である 1022 号において、本実験区の地盤高は、「泥混じり砂場」付近で  $C.D.L+0.8m\sim+1.0m$  であった。また、「泥混じり砂場」付近から南に向かって地盤高は高くなり、「砂場」付近では、地盤高が  $C.D.L+1.0m\sim+1.2m$  であった。

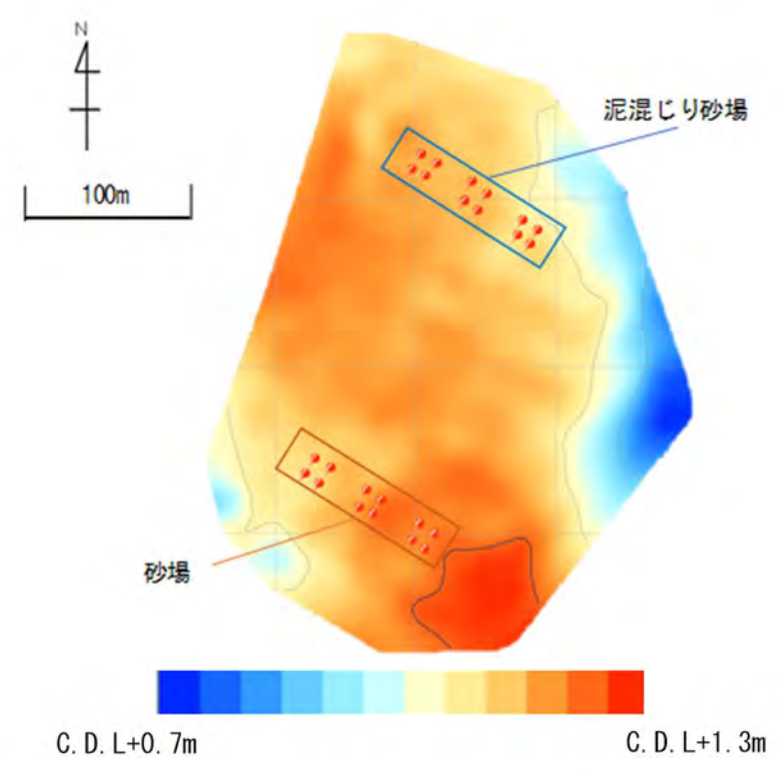


図 5 実験区の位置と地盤高

## 2.2 流況、波高および水質調査

### 2.2.1 物理観測(夏季)

### (1) 泥混じり砂場

「泥混じり砂場」における夏季の物理環境の観測結果を図 6、図 7 および図 8 に示した。

観測期間中の 1/3 波高の値は 1.3~48.6cm、1/3 波動流速振幅の値は 1.3~26.7cm/s、流れによる底面せん断応力  $\tau$ 。の値は 0.001 未満~0.619N/㎡、波浪による底面せん断応力  $\tau$   $v_{1/3}$  の値は 0.003~0.673 N/㎡、両者を合成した底面せん断応力  $\tau$   $v_{1/3}$  の値は 0.006~0.706 N/㎡の範囲を示した。

 $\tau$ 。および  $\tau$   $v_1/3$  の値は、観測期間中の多くの期間で、殻長 1mm アサリの移動限界 0.055N/㎡および底質(基質) の移動限界 0.189N/㎡を超え、特に令和 3 年 7 月 12 日~7 月 15 日および令和 3 年 8 月 8 日~8 月 11 日の間で 0.400N/㎡も超えた。

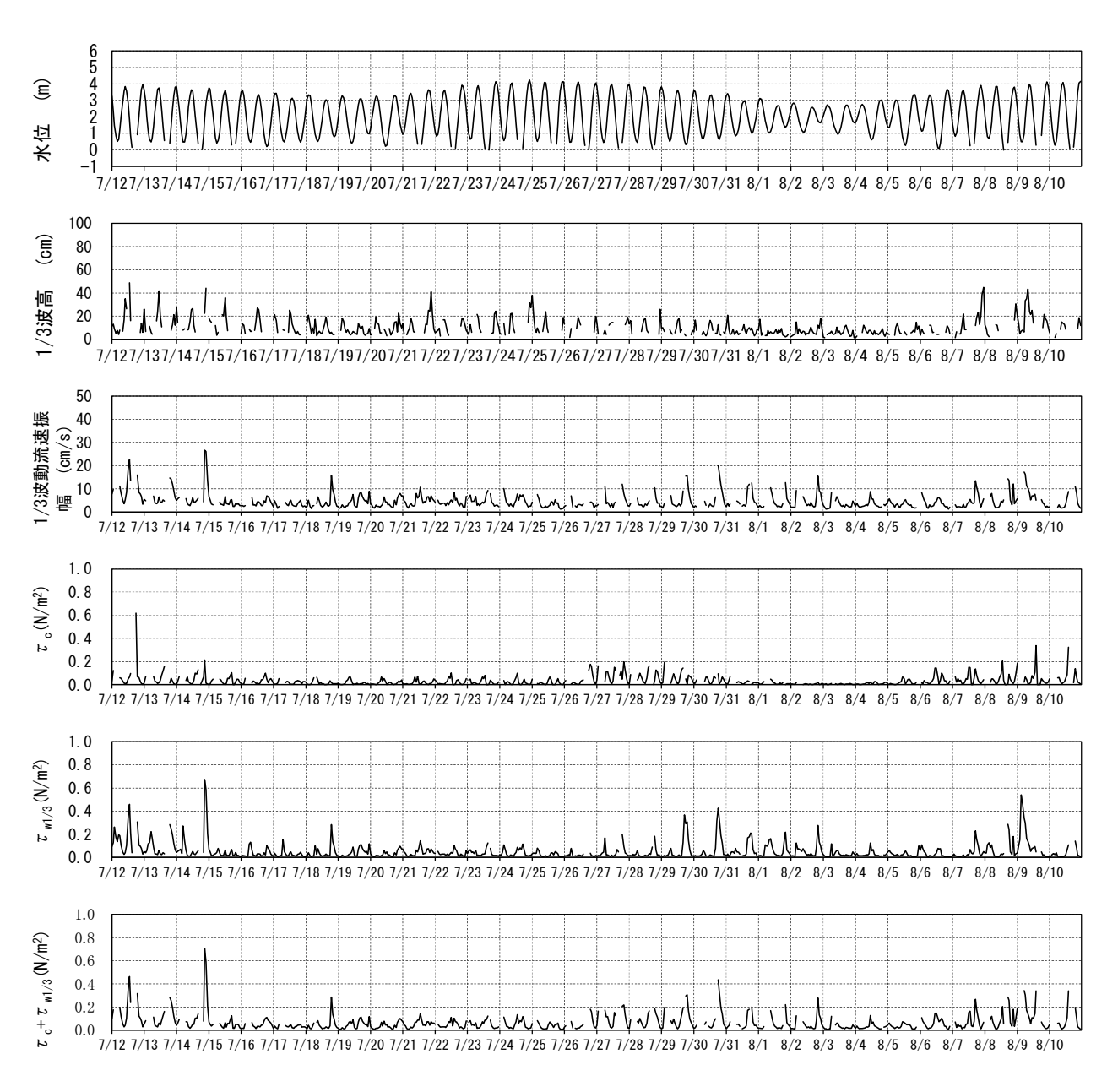


図 6 泥混じり砂場における物理環境の連続観測結果(令和3年7月12日~令和3年8月11日)

# 堆積物・稚貝の移動限界 ( $\tau_w$ は $U_{1/3}$ から計算)

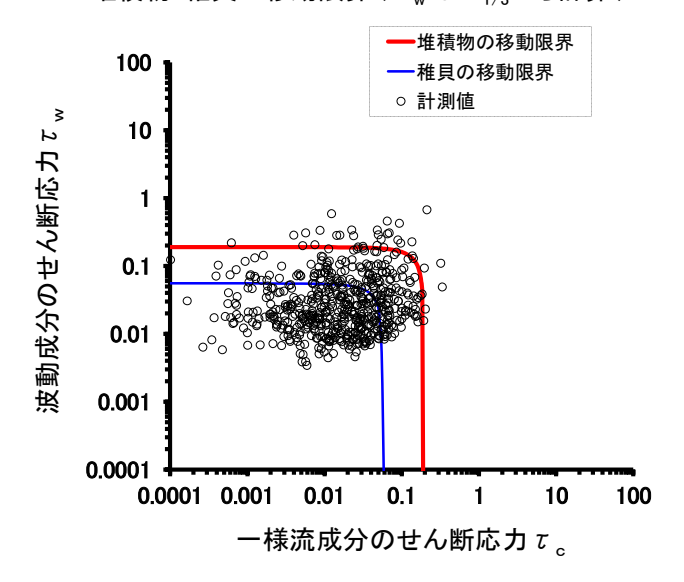


図 7 泥混じり砂場における堆積物・稚貝の移動限界(令和3年7月12日~令和3年8月11日)

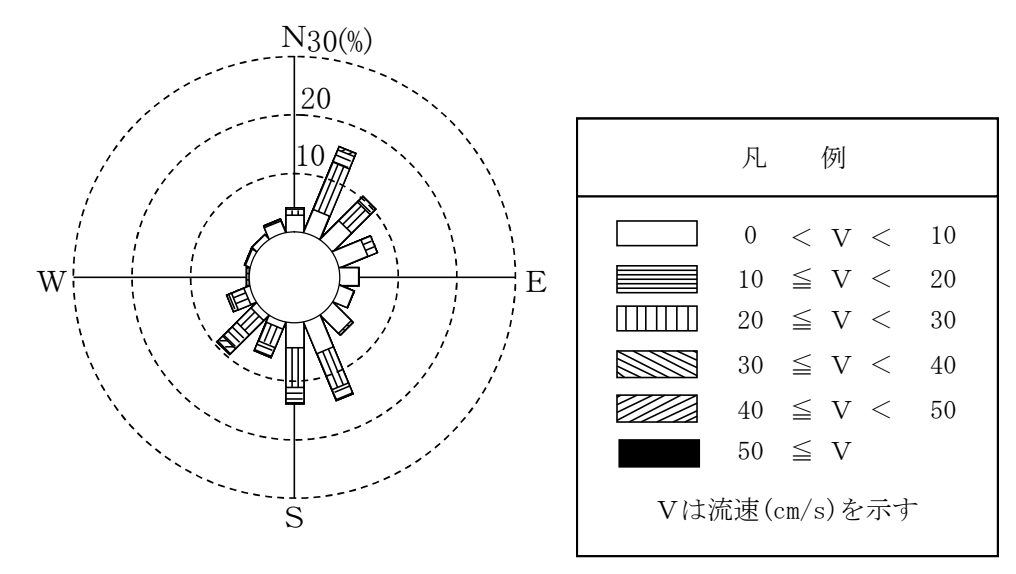


図 8 泥混じり砂場における流向・流速(令和3年7月12日~令和3年8月11日)

### (2) 砂場

「砂場」における夏季の物理環境の観測結果を図 9、図 10 および図 11 に示した。

観測期間中の 1/3 波高の値は  $0.3\sim38.7$ cm、1/3 波動流速振幅の値は  $1.3\sim27.7$ cm/s、流れによる底面せん断応力  $\tau$ 。の値は 0.001 未満 $\sim0.777$ N/㎡、波浪による底面せん断応力  $\tau_{v1/3}$ の値は  $0.004\sim0.702$  N/㎡、両者を合成した底面せん断応力  $\tau_{o}+\tau_{v1/3}$ の値は  $0.007\sim0.640$  N/㎡の範囲を示した。

 $\tau$ 。および  $\tau$   $v_1/3$  の値は、観測期間中の多くの期間で、殻長 1mm アサリの移動限界 0.053N/m²および底質(基質) の移動限界 0.186N/m²を超え、特に令和 3 年 7 月 12 日~7 月 15 日および令和 3 年 8 月 8 日~8 月 11 日の間で 0.400N/m²も超えた。

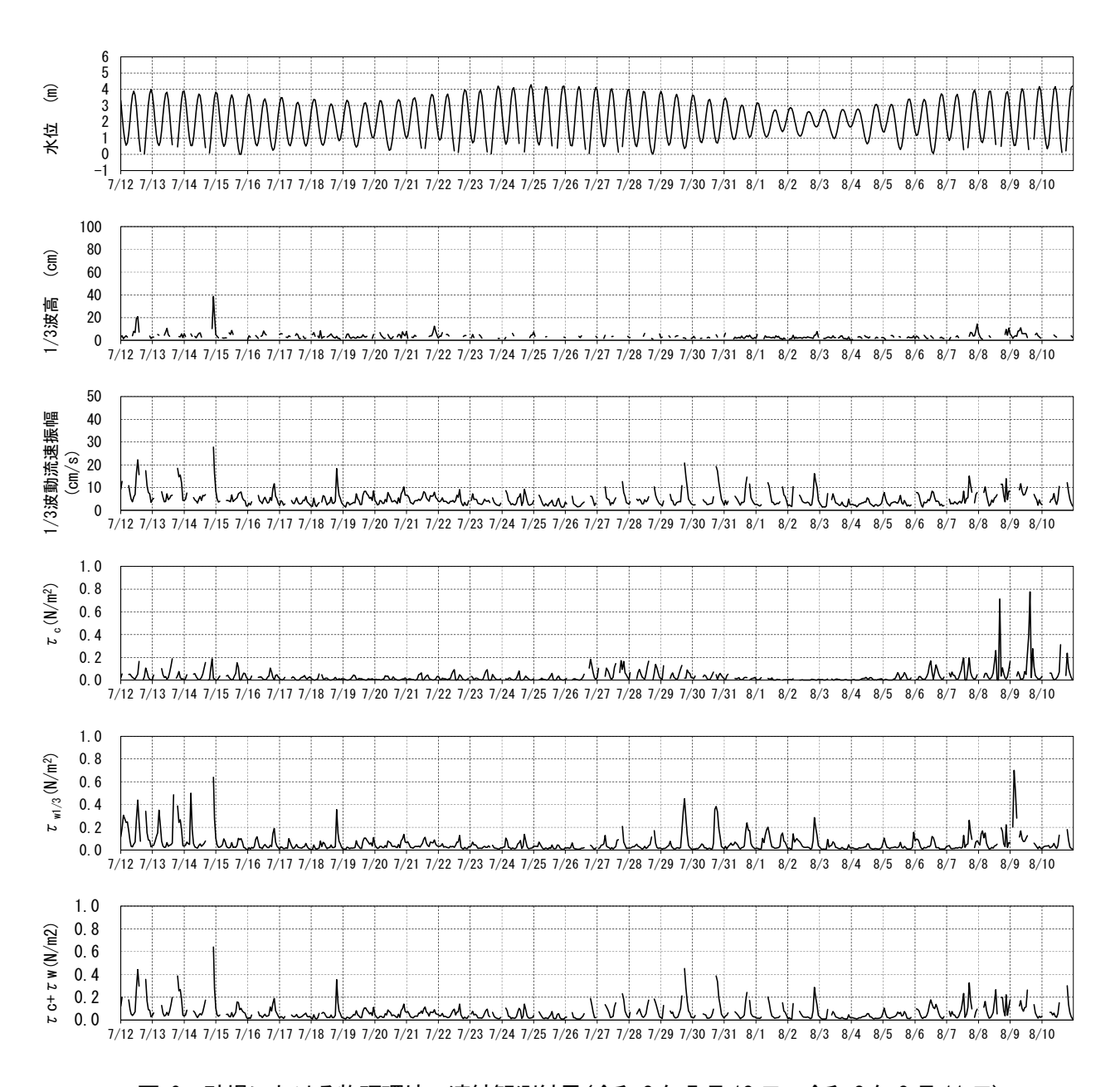


図 9 砂場における物理環境の連続観測結果(令和3年7月12日~令和3年8月11日)

# 堆積物・稚貝の移動限界 ( $\tau_w$ は $U_{1/3}$ から計算)

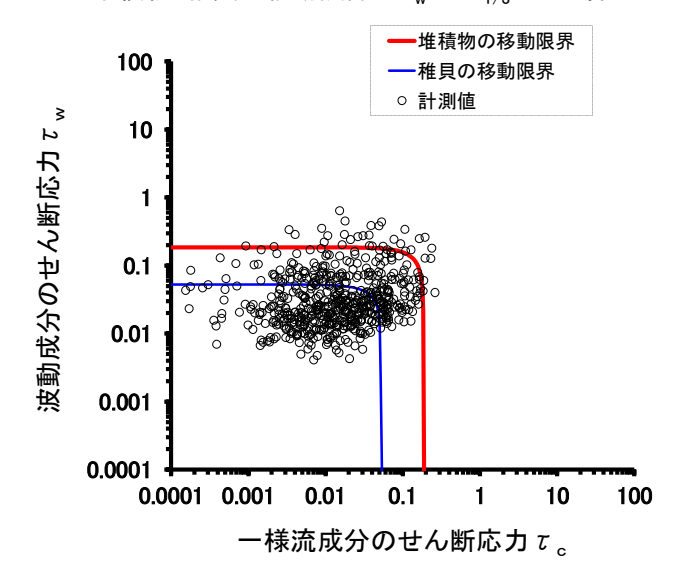


図 10 砂場における堆積物・稚貝の移動限界(令和3年7月12日~令和3年8月11日)

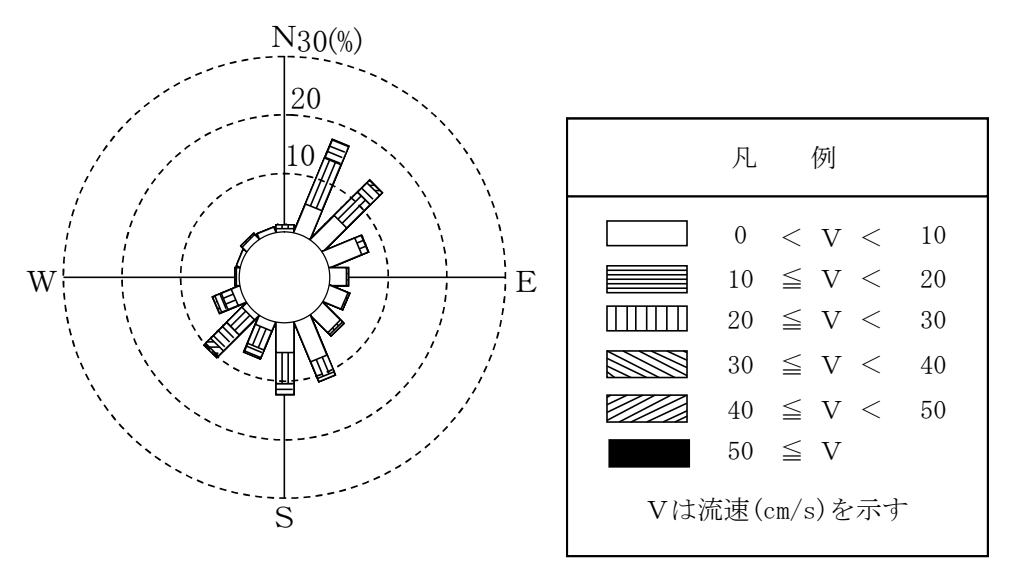


図 11 砂場における流向・流速(令和3年7月12日~令和3年8月11日)